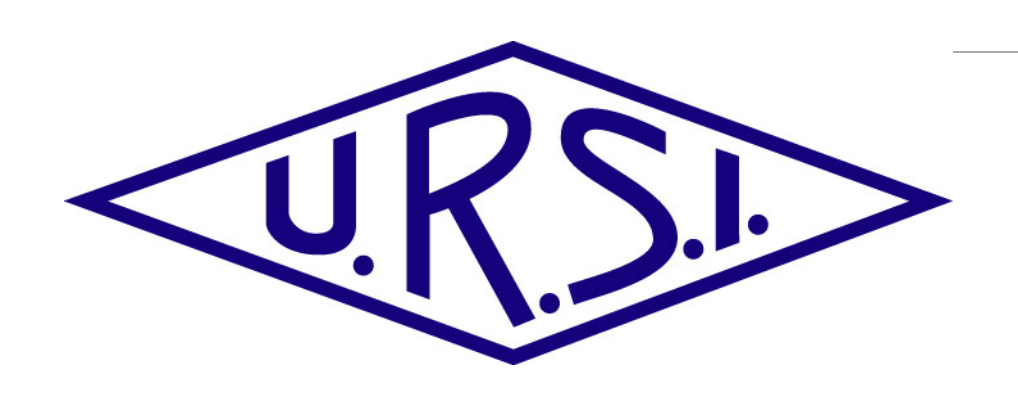




Fully Metallic Reflectarray for the Ku-Band Based on a 3D Architecture



JAIME VELASCO GARCÍA

CARLOS MOLERO JIMÉNEZ

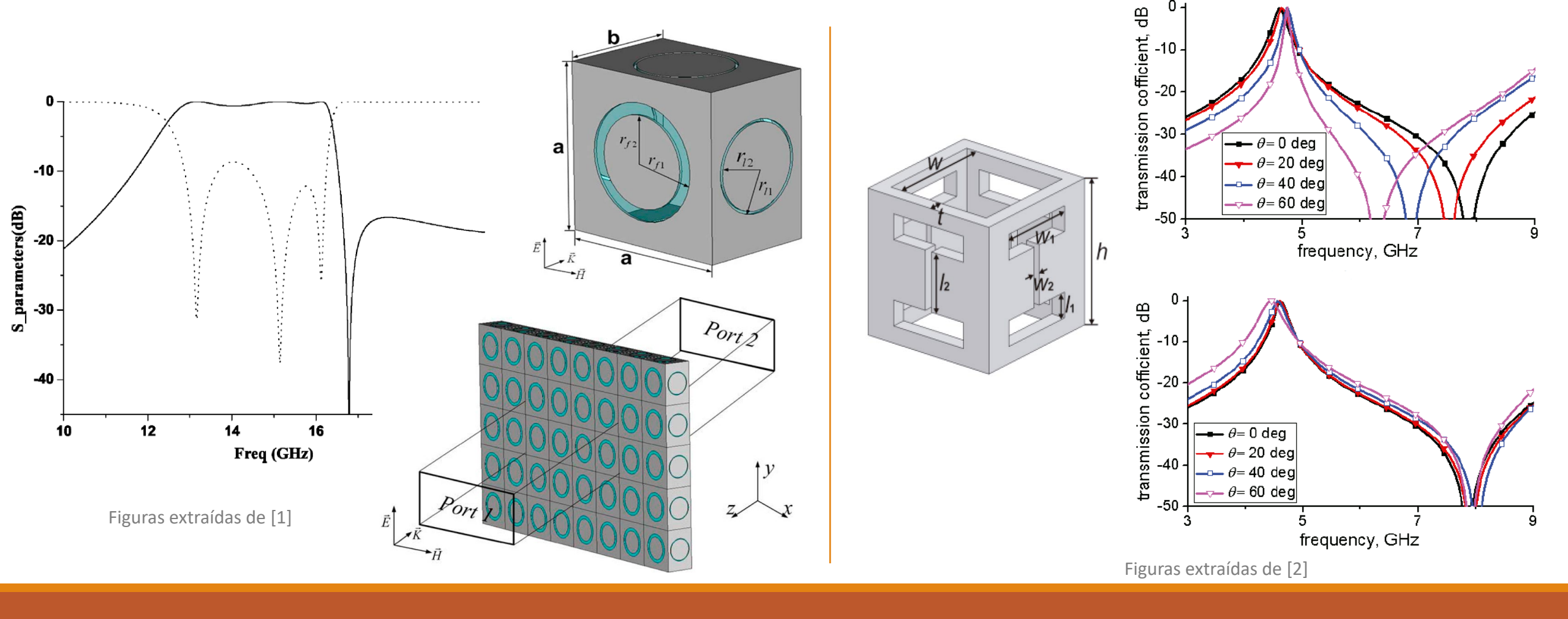
PABLO PADILLA DE LA TORRE

Índice

- 1. Introducción
- 2. Propiedades de la estructura
- 3. Diseño y simulación
- 4. Fabricación
- 5. Resultados experimentales

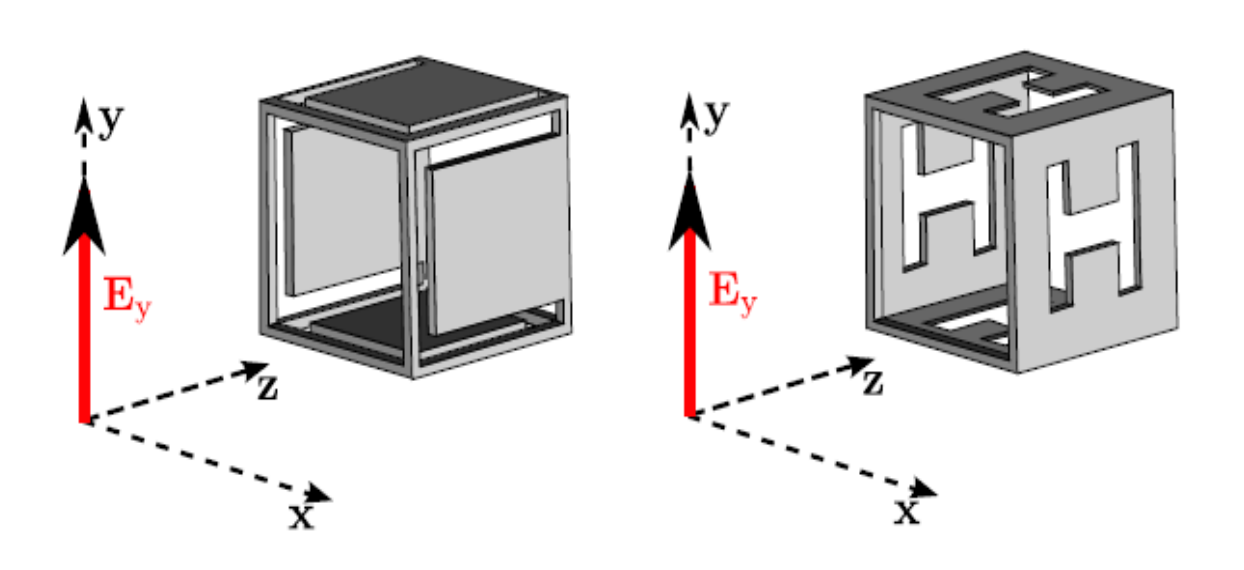
Introducción

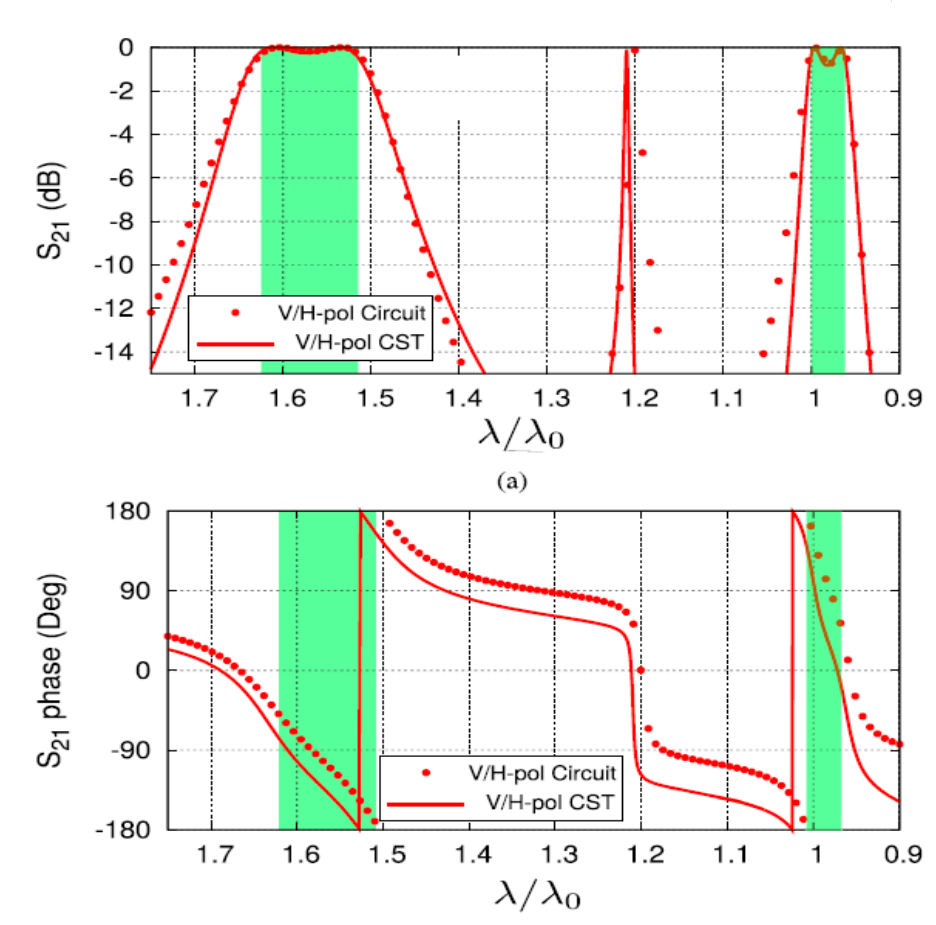
• Estructura conocida y ya utilizada para transmisión ———— Amplitud de la onda



Introducción

• Trabajo previo — Uso de la fase también para transmisión

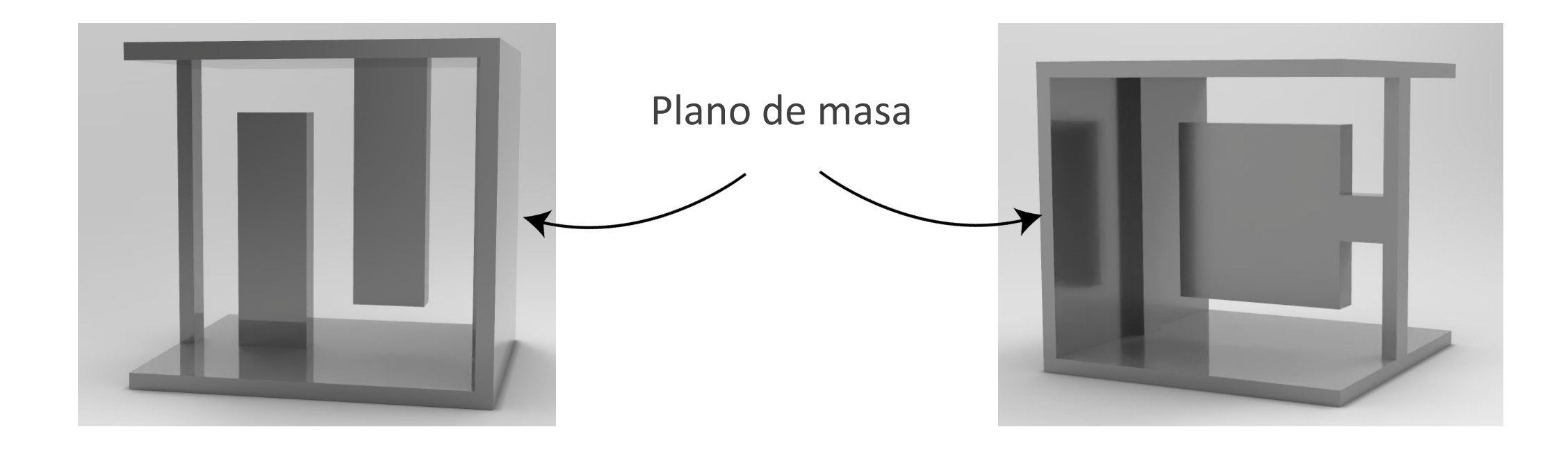




Figuras extraídas de [3]

Introducción

• Innovación — Plano metálico para la total reflexión



Propiedades de la estructura

Reflectarrays 2D ——— sustrato homogéneo

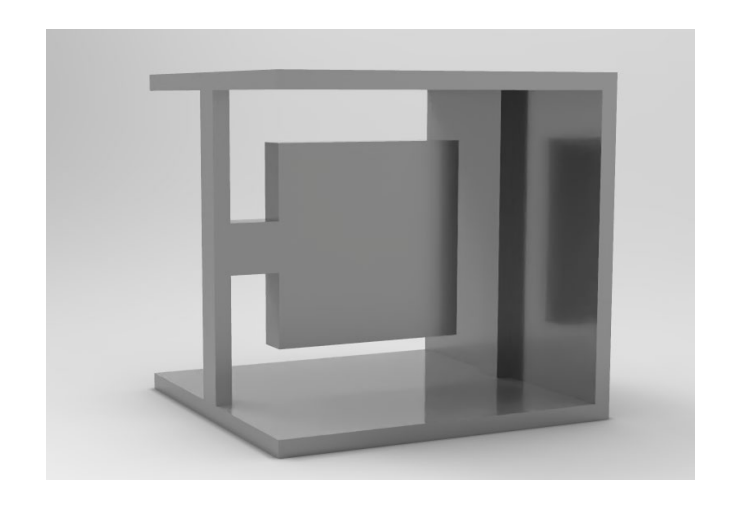
Reflectarrays 3D

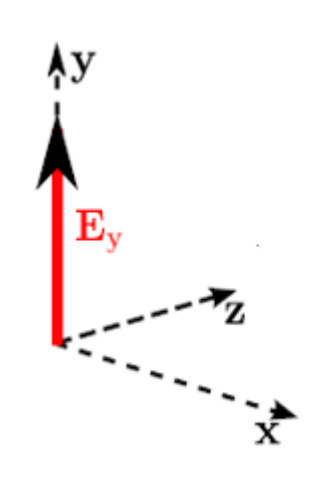
 resonadores en las paredes de la celda

Campo eléctrico afectado por las paredes laterales

V-pol y H-pol independientes

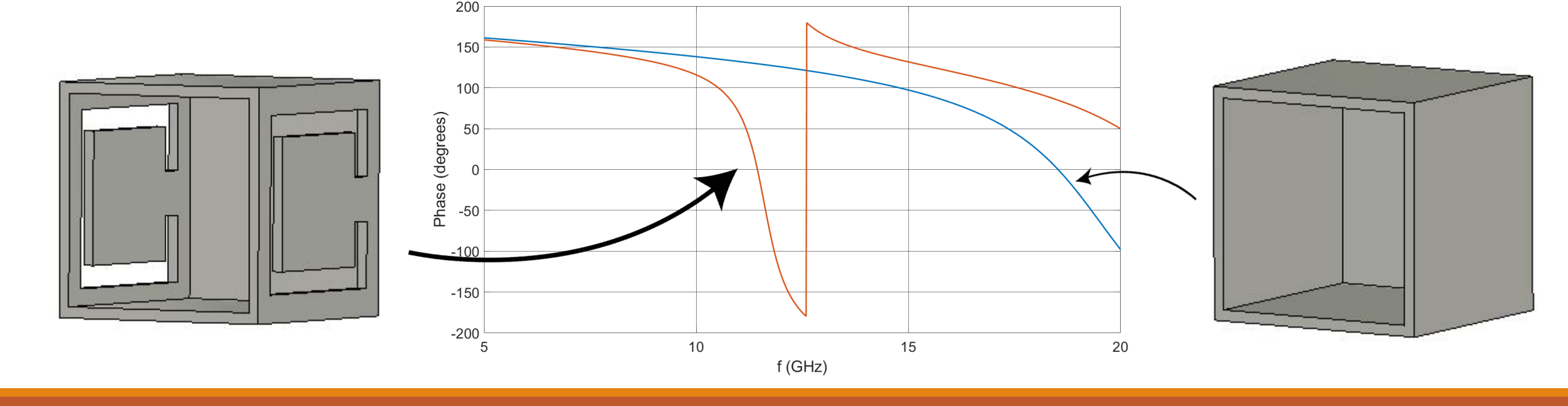
Otra ventaja — fabricación 3D





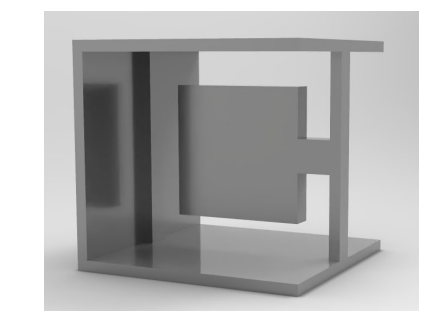
Propiedades de la estructura

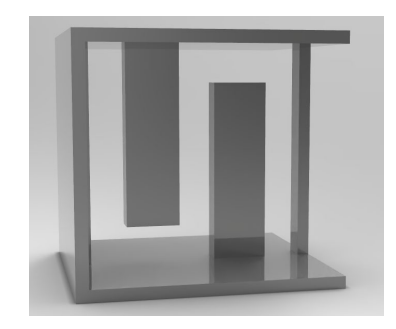
- Al corte \longrightarrow p < $\lambda/2$ \longrightarrow no se excitan modos propagativos
- Tamaño reducido ——— robustez al ángulo incidente
- Reflexión ——— Fase
- Los resonadores permiten modificar la resonancia



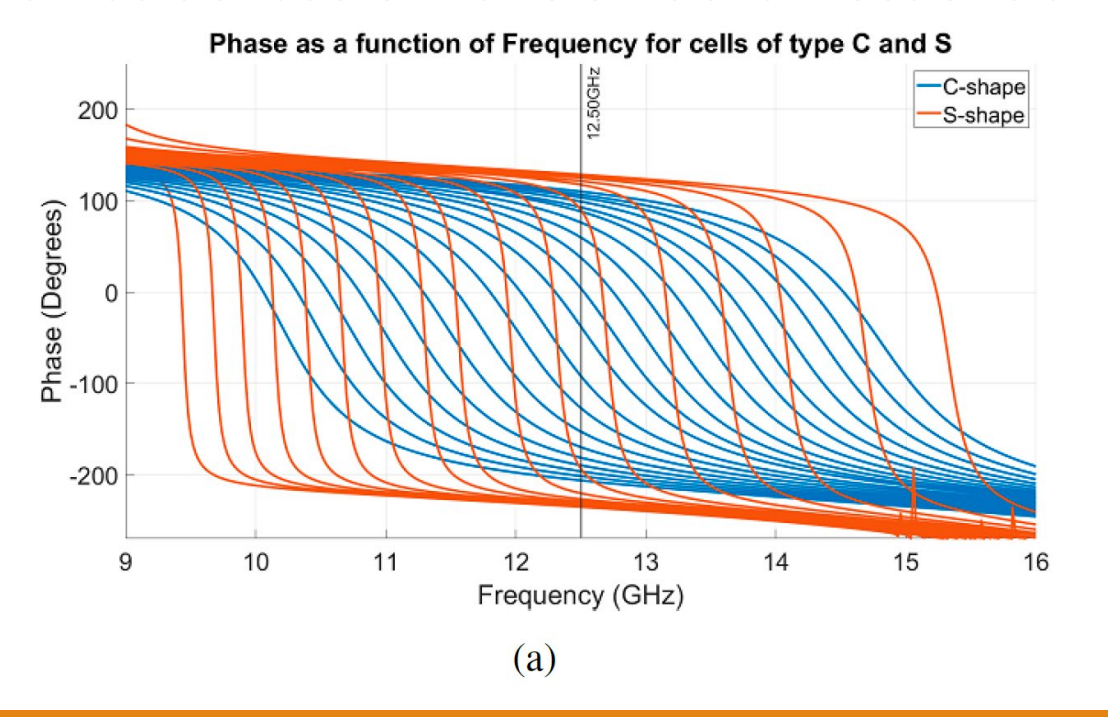
Propiedades de la estructura

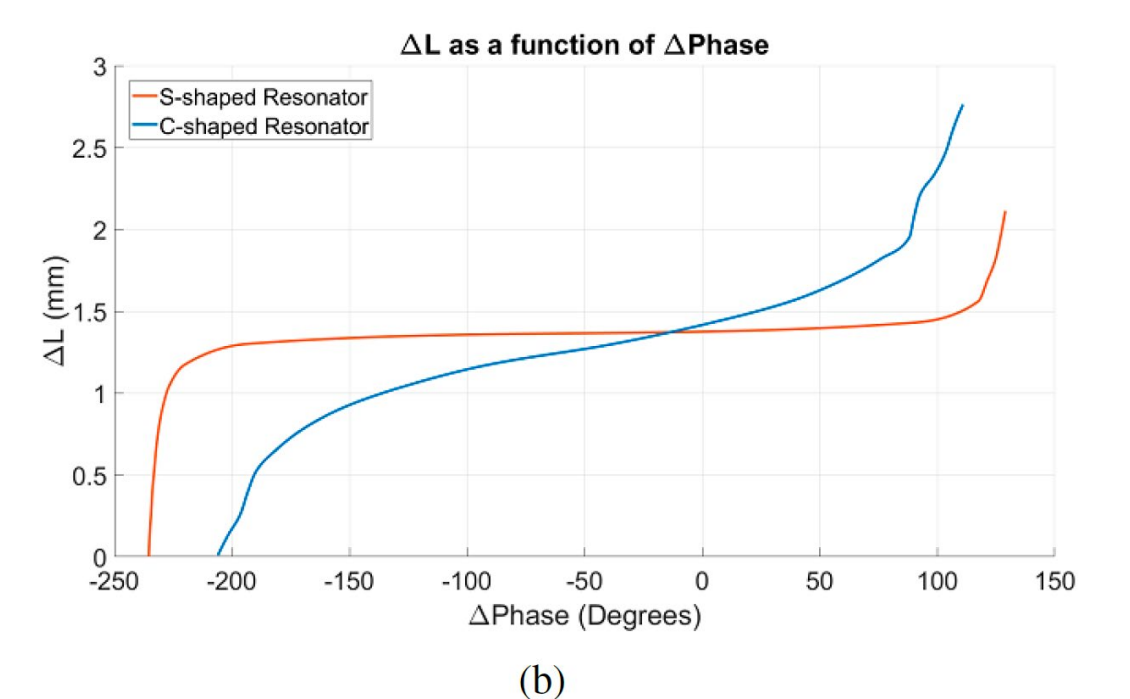
Dos geometrías para los resonadores

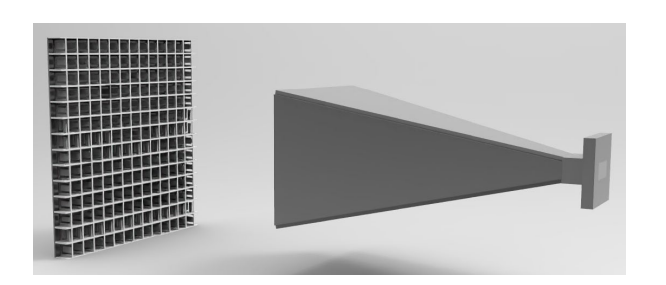




Curvas de fase en función de la frecuencia







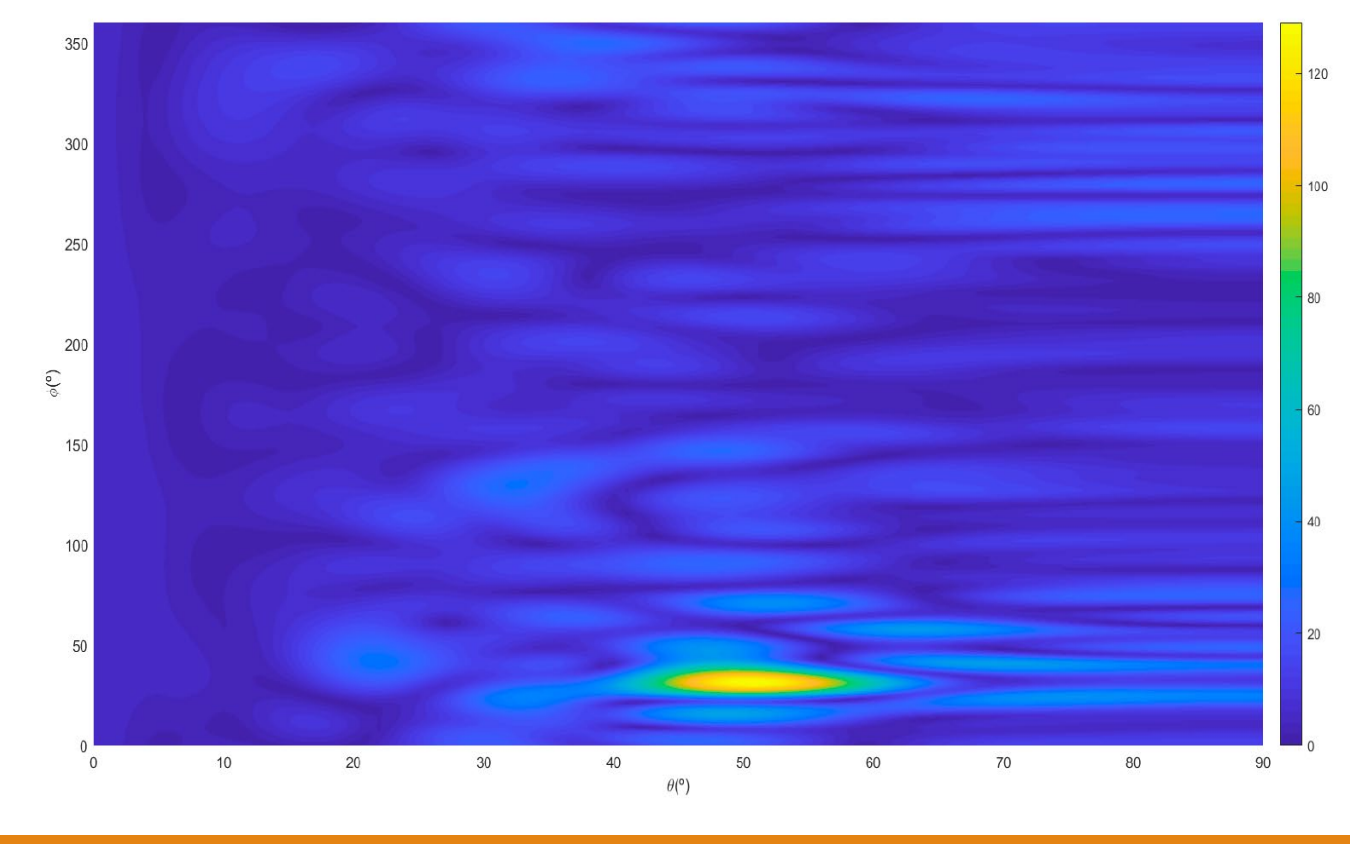
• 6 estados — cálculo de fase

$$\frac{n\pi}{3}, \qquad n \in [0, 5]$$

$$\varphi_{nm} = k_0 \left(d_{nm} - \left[x_n \cos(\varphi_b) + y_n \sin(\varphi_b) \right] \cos(\theta_b) \right)$$
$$n, m = 1, ..., 14$$

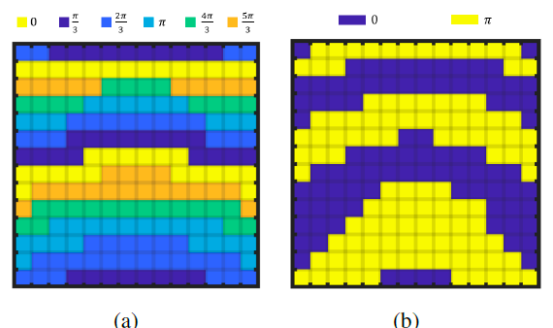
Expresión extraída de [4]

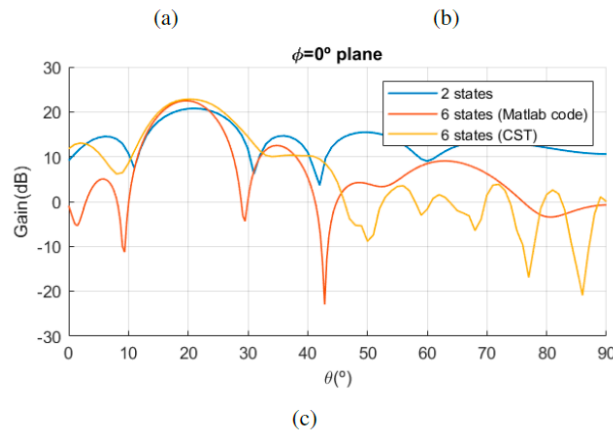
Métodos no intercambiables



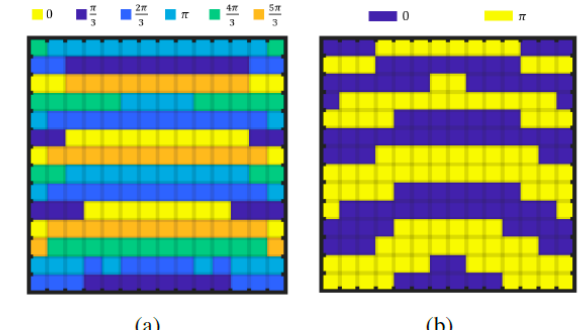
^{*} https://www.youtube.com/watch?v=M5fmXfkMN 4

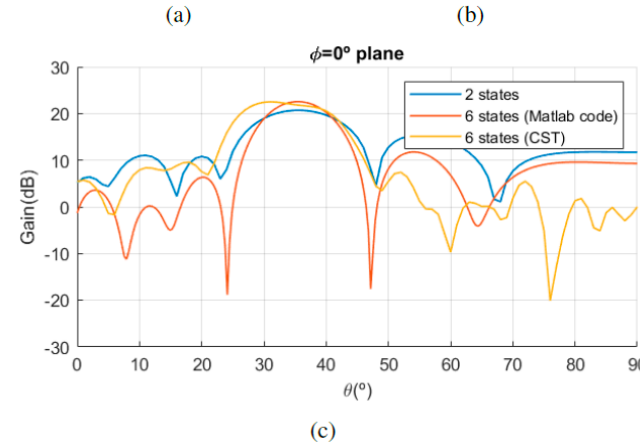
- Escenario simulado bocina WR-75 a 15cm del reflectarray
- Caso $(\phi, \theta) = (0, 20)^{\circ}$

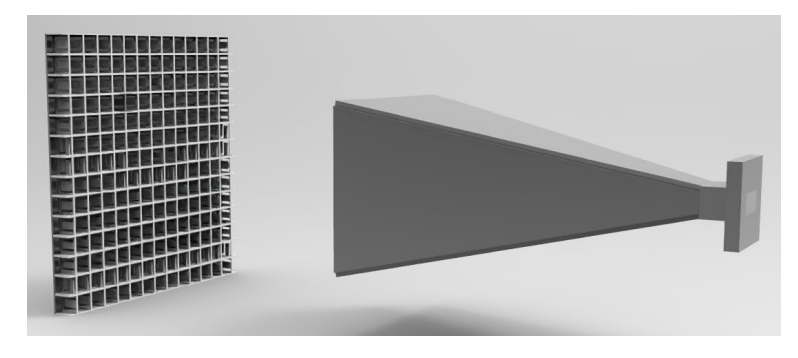


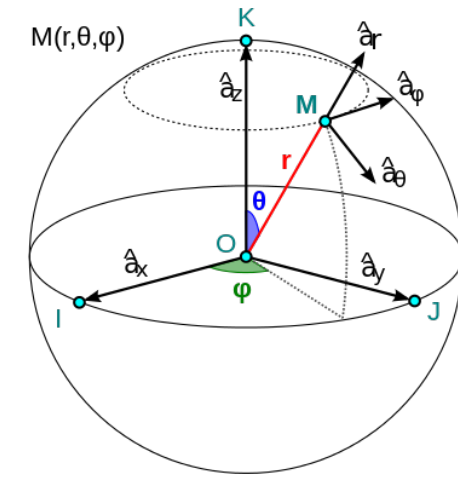


• Caso $(\phi, \theta) = (0, 35)^\circ$



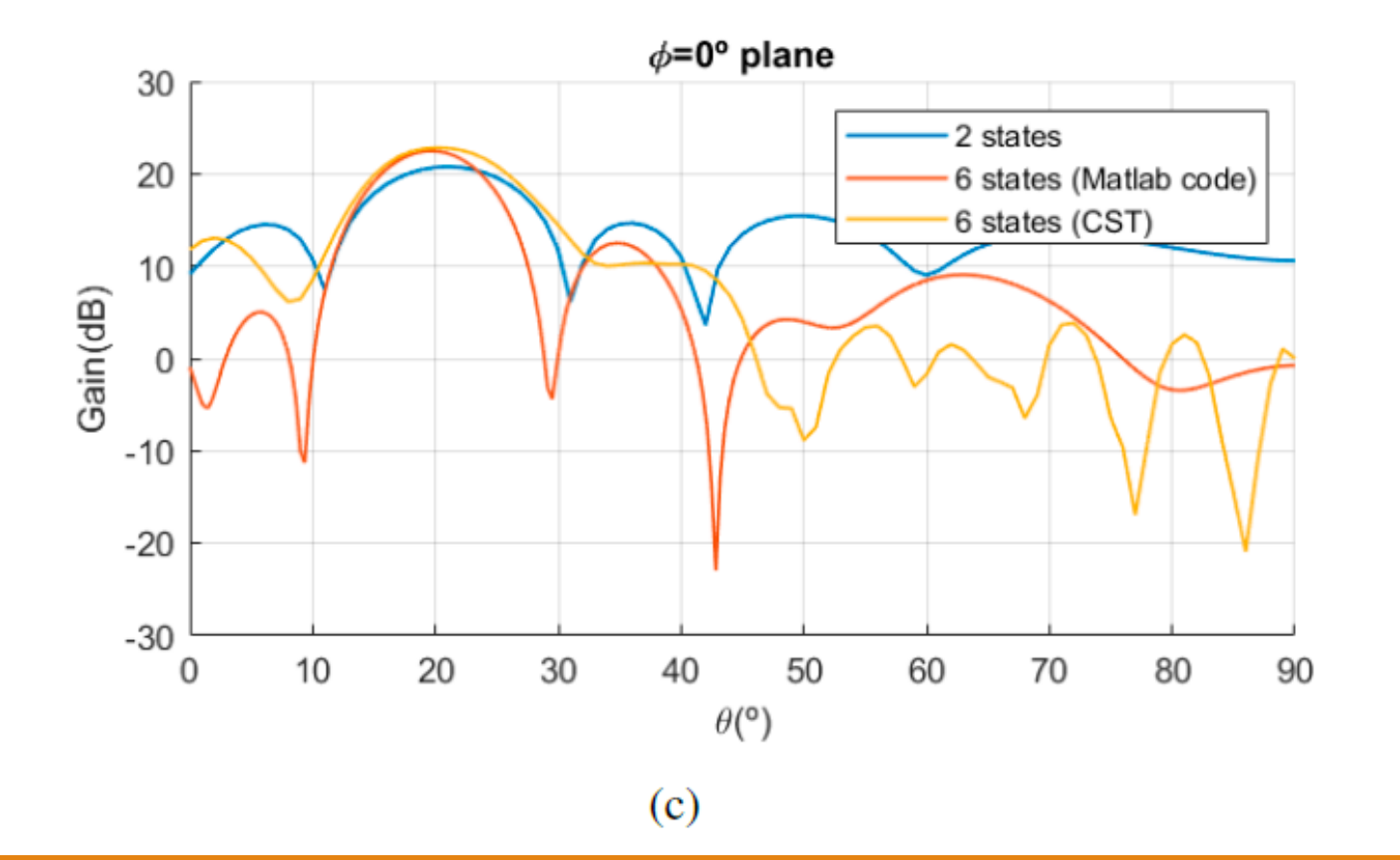


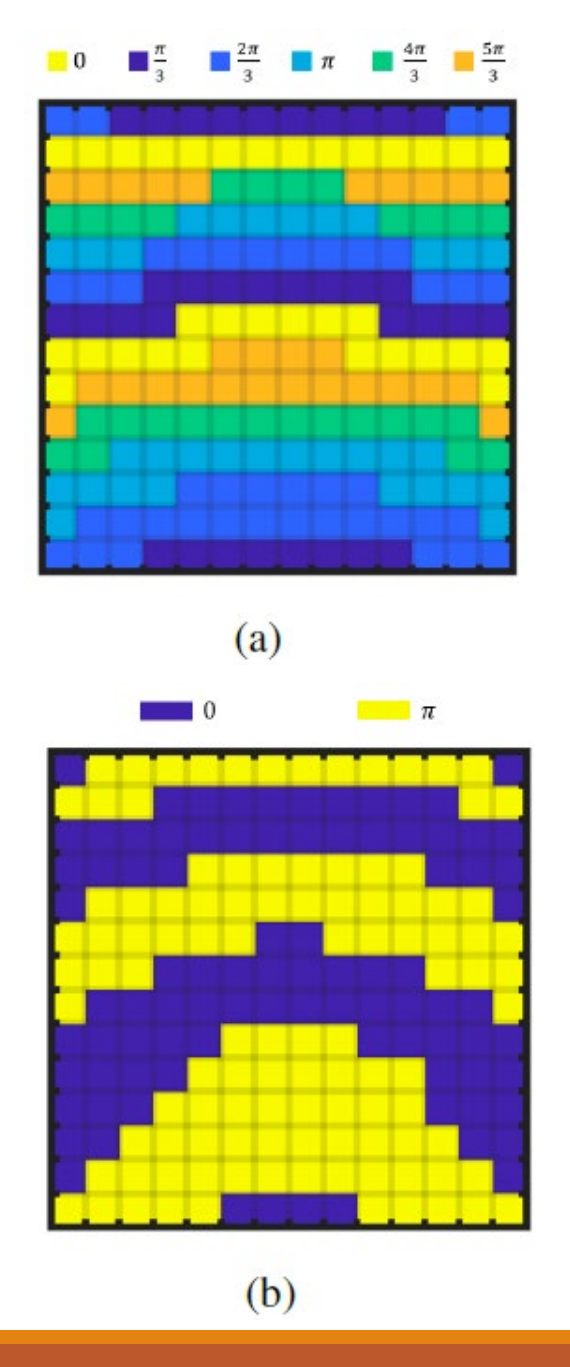




^{*} https://www.youtube.com/watch?v=M5fmXfkMN_4

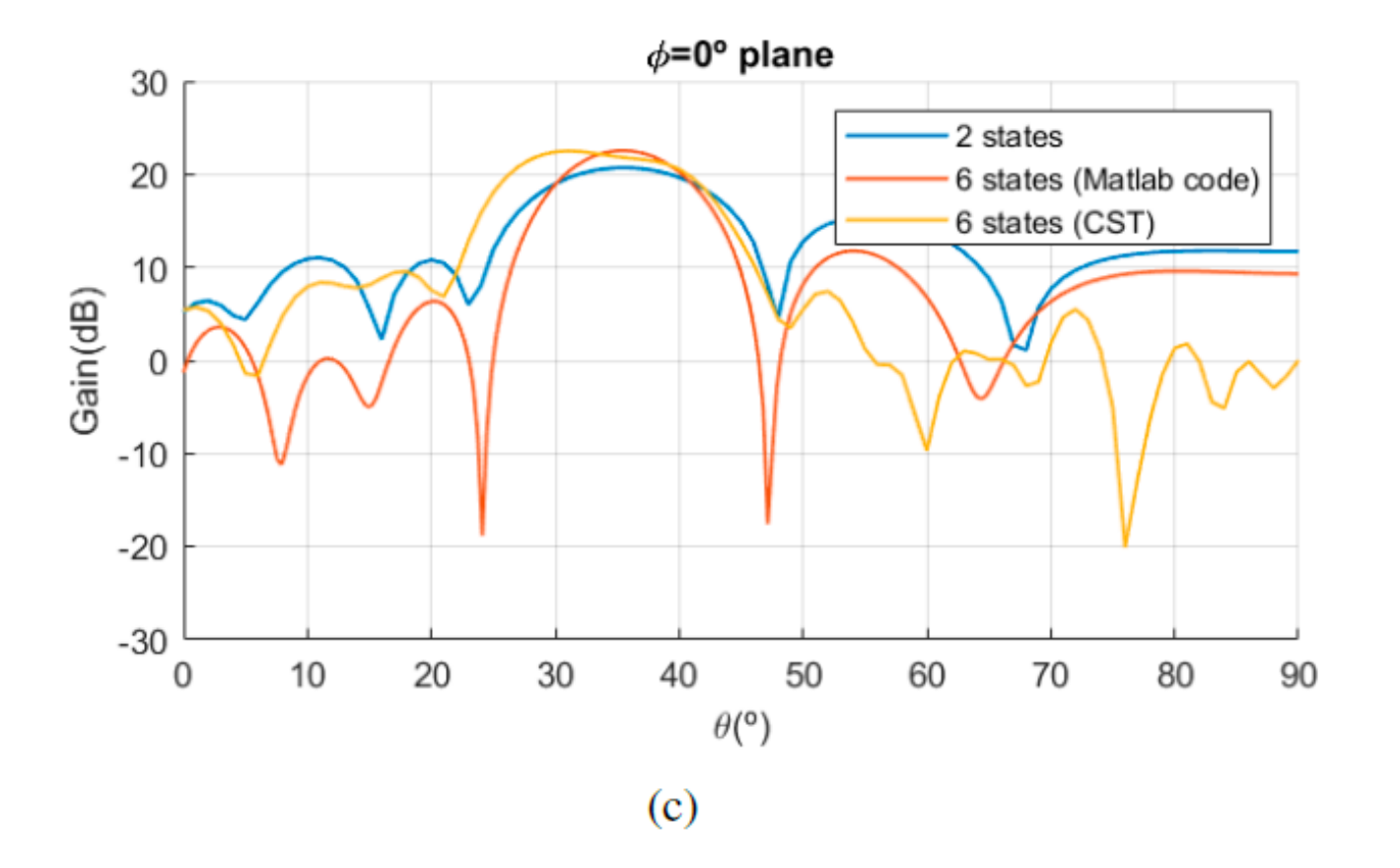
•Caso $(\phi, \theta) = (0, 20)^{\circ}$

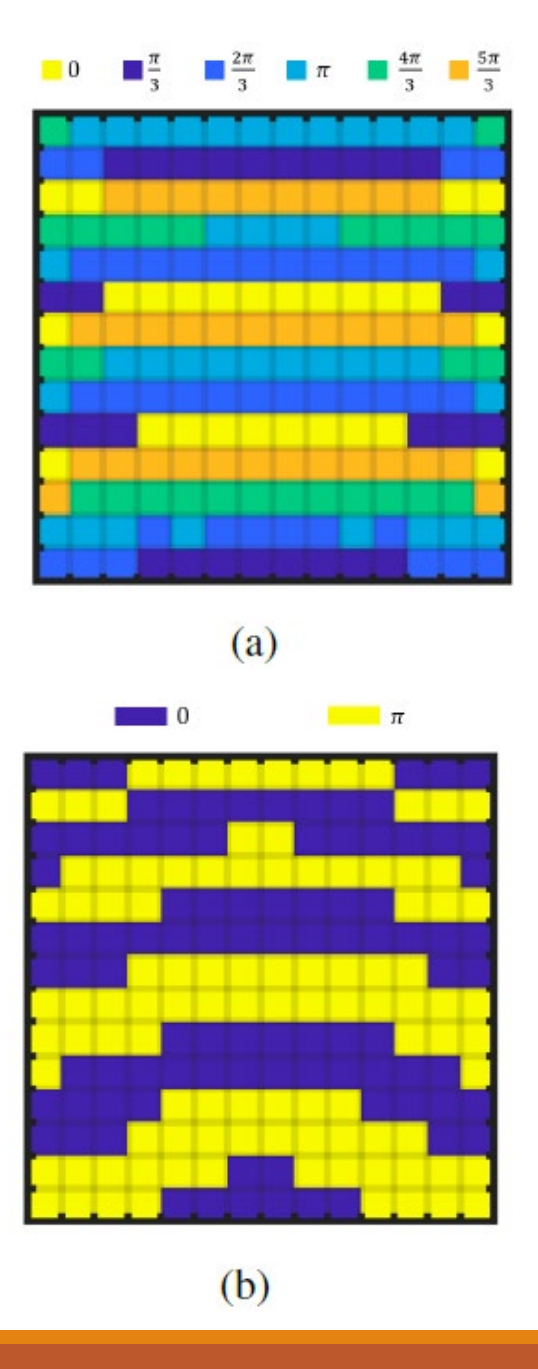




^{*} https://www.youtube.com/watch?v=M5fmXfkMN_4

•Caso $(\phi, \theta) = (0, 35)^{\circ}$

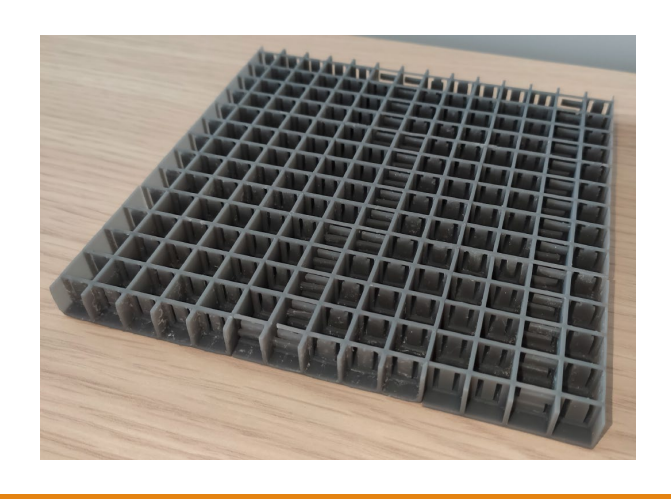


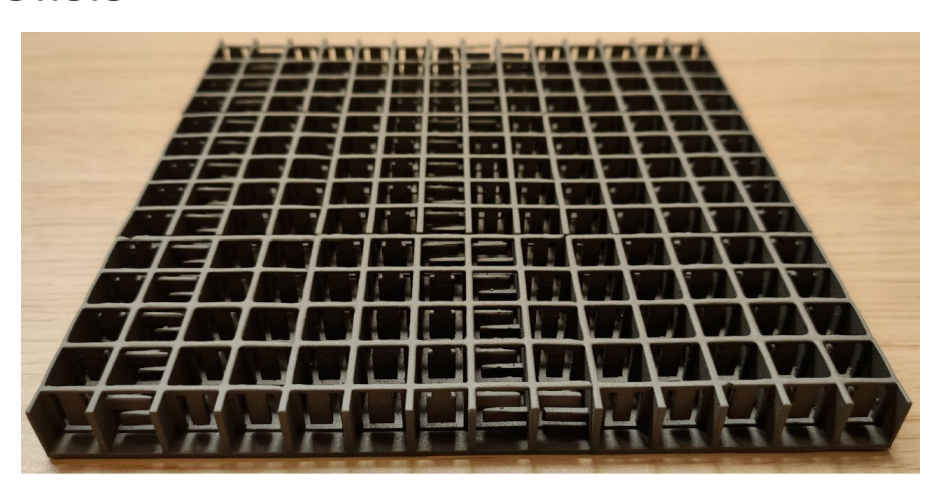


^{*} https://www.youtube.com/watch?v=M5fmXfkMN_4

Fabricación

- Diseño en CST archivos stl
- Técnica SLA impresora Form3D de FormLabs
- Importante ——— soportes para la impresión
- Impresión por partes ensamblado
- Metalización mediante electrolisis *



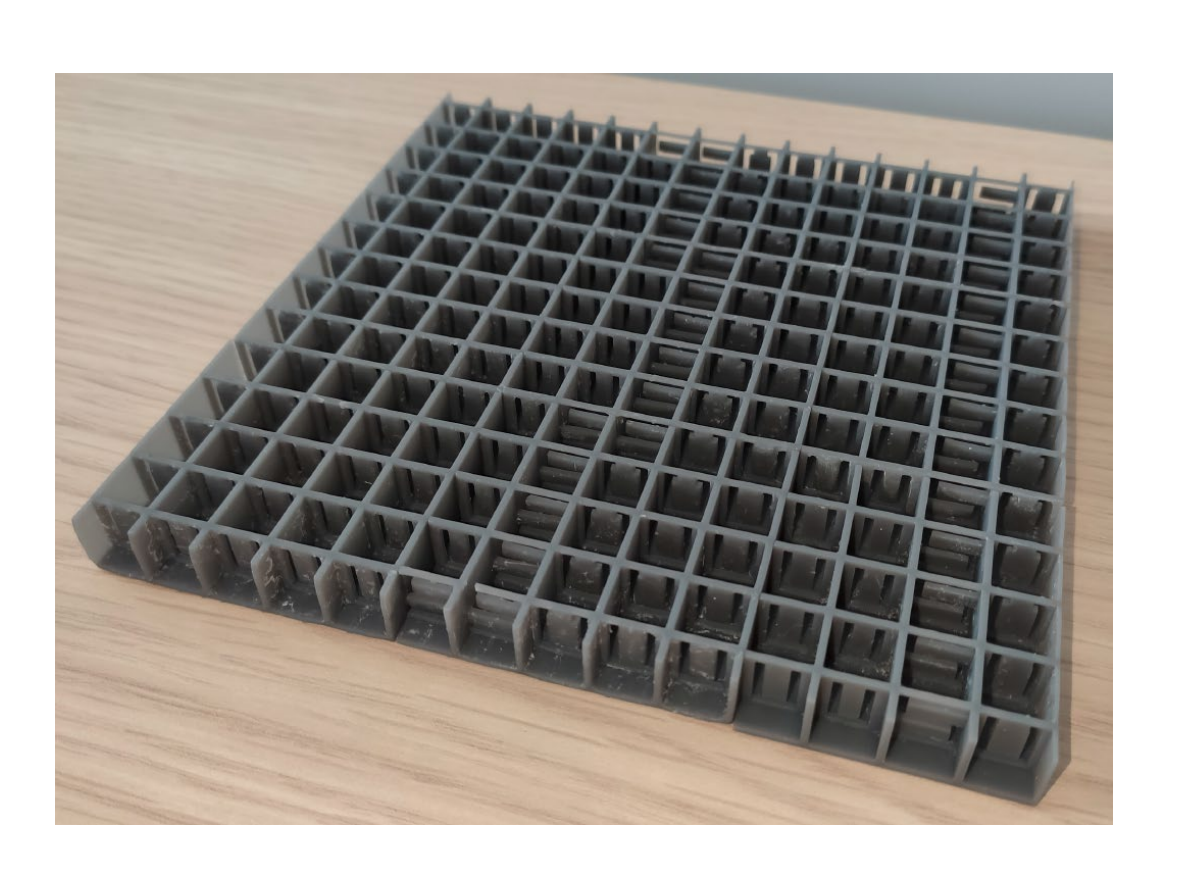








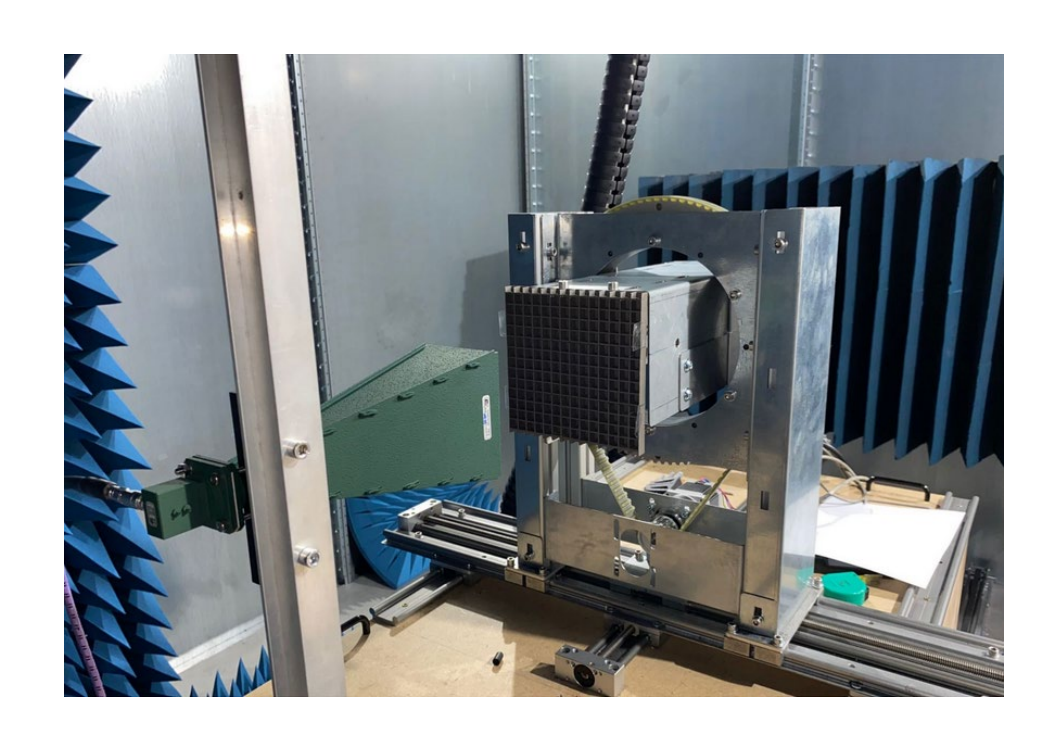
Fabricación

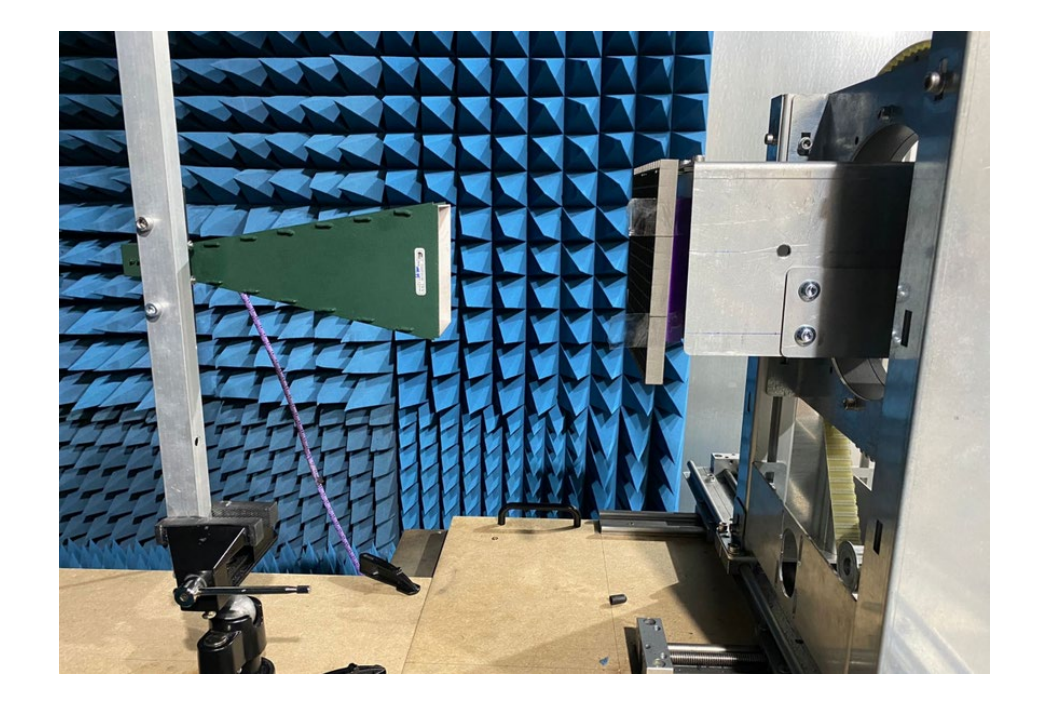




Resultados experimentales

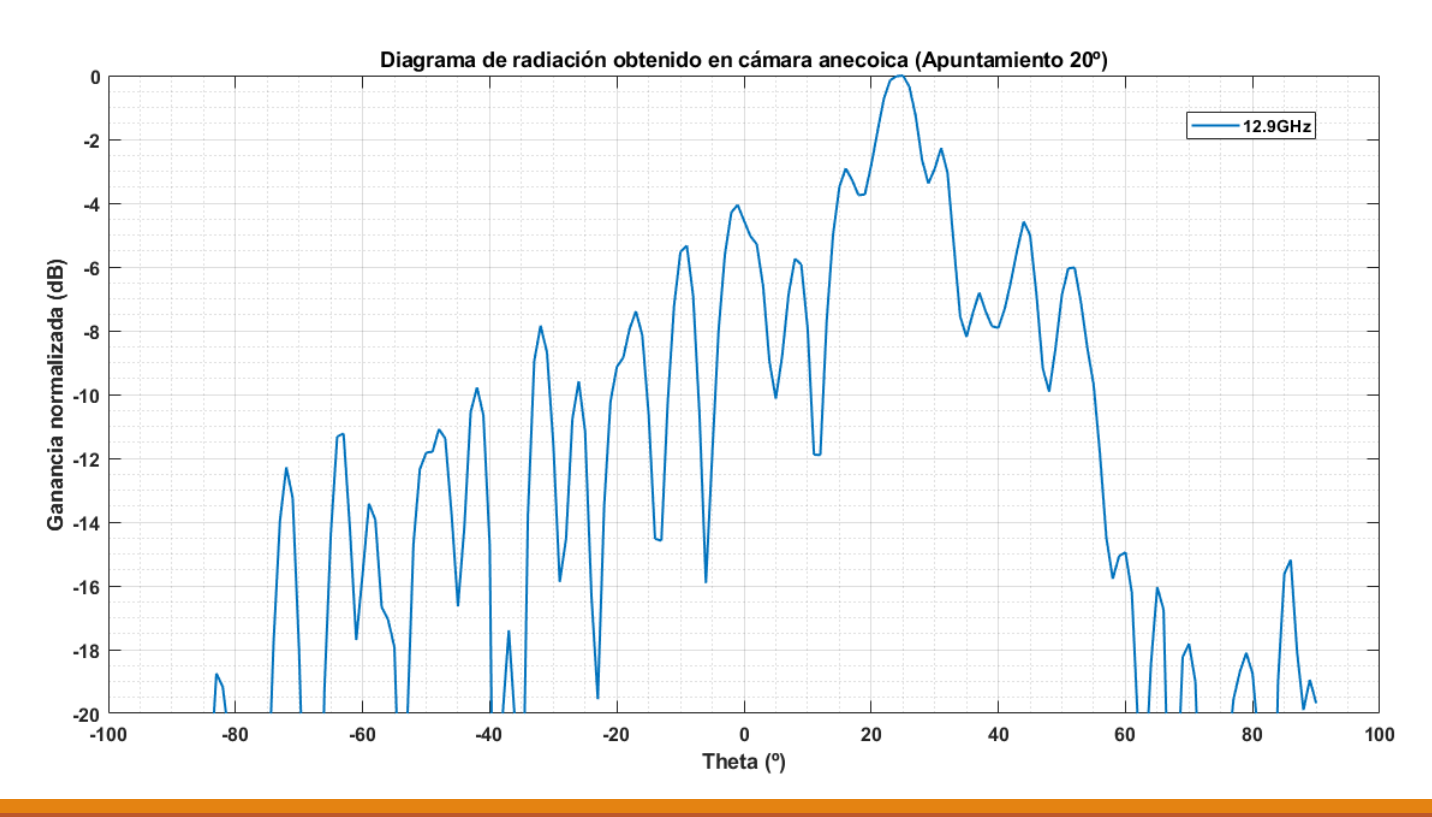
• Cámara semi-anecoica (Laboratorio Singular 5G de la Universidad de Granada)





Resultados experimentales

- Barrido en intervalos de 100MHz entre 12-13GHz
- Objetivo \longrightarrow apuntamiento en $\theta = 20^{\circ}$



- Frecuencia 12.9GHz
- Lóbulos secundarios elevados
- Comportamiento adecuado
- Mejoras en fabricación

Conclusiones

•Frecuencia → 12.9GHz

Dirección imprecisa

Lóbulos secundarios elevados

Comportamiento adecuado

• Mejoras en fabricación

Bibliografía

- [1] X. Huang, C. Yang, Z. Lu, and P. Liu. "A Novel Frequency Selective Structure With Quasi-Elliptic Bandpass Response".
- [2] W. Tang, J. Zhu, C. Wang, J. Ge, Z.Yu, and W. Zhuang. "Waveguide 3-D FSSs by 3-D printing technique".
- [3] C. Molero, E. Menargues, and M. García-Vigueras. "All-Metal 3-D Frequency-Selective Surface With Versatile Dual-Band Polarization Conversion".
- [4] J. Huang, and J. A. Encinar. "Reflectarray Antennas".